

## 2

## Definições Preliminares

Na introdução foi apresentado o conceito de superfície quadriculada bicolorida e balanceada. Os discos com buracos estão mergulhados em  $\mathbb{R}^2$ , mas não necessariamente estão no plano quadriculado.

Seja  $T_S$  o conjunto das coberturas de dominós de uma superfície quadriculada  $S$ . Um *caminho*  $v_0v_1\dots v_n$  em  $S$  é uma seqüência de vértices adjacentes. Um caminho  $v_0v_1\dots v_n$  *gira à esquerda* (resp. *direita*) em  $v_i$  se  $v_{i-1}$ ,  $v_i$  e  $v_{i+1}$  são vértices de um quadrado à esquerda (resp. direita) de ambas arestas  $v_{i-1}v_i$  e  $v_iv_{i+1}$ ; por outro lado, se  $v_i$  é um ponto interior em  $S$ , o caminho *segue reto* em  $v_i$ . Generalizando, a *curvatura* do caminho  $\dots v_{i-1}v_iv_{i+1}\dots$  em  $v_i$  é 1, 0 ou  $-1$  se  $v_i$  está no interior de  $S$  e o caminho gira à esquerda, segue reto ou gira à direita em  $v_i$ , respectivamente; se  $v_i$  é um vértice de borda, seja  $n$  o número de quadrados no ângulo  $v_{i-1}v_iv_{i+1}$ : a curvatura em  $v_i$  é  $+(2-n)$ , com o sinal dependendo da orientação do ângulo. Claramente, a definição de curvatura de vértices do interior pode ser considerada como um caso especial da definição mais complicada para vértice da borda. Um caminho é *simplex* se seus vértices são distintos e *fechado* se  $v_0 = v_n$ , e nesse caso considere  $v_m = v_m \text{ mod } n$ .

Em um disco com buracos mergulhado no  $\mathbb{R}^2$  escolheremos um buraco para ser o *buraco primário* e os outros serão chamados de *buracos secundários*. Sem perda de generalidade, considere como buraco primário o buraco 1.

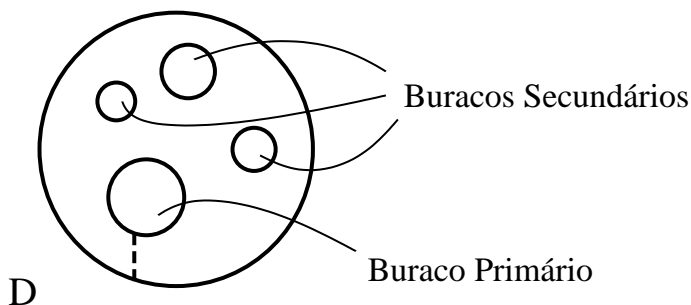


Figure 2.1: Buraco primário e Buracos secundários

Um *corte* é um caminho simplex em um disco quadriculado com bura-

cos unindo borda externa à uma das bordas internas e com exatamente um vértice em cada componente da borda. Considere um disco com buracos como a justaposição circular de discos com buracos quadriculados com *identificações* específicas. Cortes são desenhados e os discos com buracos entre cortes consecutivos são chamados *track segments*. Mais precisamente, um *track segment*  $\Delta$  é um disco quadriculado com buracos cuja borda externa é dividida no sentido anti-horário em quatro arcos  $\beta_i$ ,  $\alpha_0$ ,  $\beta_o$  e  $\alpha_1$  (para borda interna, colagem 0, borda externa e colagem 1. Colagens são orientadas de  $\beta_o$  para  $\beta_i$ ; isto coincide com a orientação da borda para  $\alpha_1$  mas não para  $\alpha_0$ . Um track segment periódico é aquele obtido de um disco com buracos balanceado  $D$  por um corte simples.

A *forma* de um caminho  $v_0 \dots v_n$  é a sequência das  $n - 1$  curvaturas do caminho em cada  $v_i$ ,  $i = 1, \dots, n - 1$ . A *justaposição* dos track segments  $\Delta$  e  $\Delta'$  é natural:  $\alpha_1$  e  $\alpha'_0$  devem ter a mesma forma e a identificação aresta-por-aresta, produzindo um track segment maior  $\Delta\Delta'$  com colagens  $\alpha_0$  e  $\alpha'_1$ . O disco com buracos  $D$  é o *fechamento*  $cl \Delta$  do track segment periódico  $\Delta$  e é obtido identificando  $\alpha_1$  a  $\alpha_0$ ; o corte resultante é dito ser *corte induzido* por  $\Delta$ .

A justaposição  $\Delta^n$  de  $n$  cópias de um track segment periódico  $\Delta$  segundo um fechamento produz o *n-recobrimento*  $D^n = cl(\Delta^n)$ . Similarmente, o recobrimento  $D^\infty$  é denotada por  $\Delta^{\mathbb{Z}}$ , uma *faixa* quadriculada com buracos infinita e periódica. A projeção canônica  $\pi : D^\infty \rightarrow D$  e a *translação por um período*  $\tau : D^\infty \rightarrow D^\infty$  são definidas como usualmente. Note que  $\tau$  leva vértices vizinhos para vértices vizinhos, satisfaz  $\pi \circ \tau = \pi$  e, para algum  $p \in D^\infty$  e alguma curva  $\gamma$  de  $p$  para  $\tau(p)$ ,  $\pi \circ \gamma$  percorre  $D$  uma vez no sentido anti-horário. A projeção  $\pi$  induz uma notação das componentes infinitas da borda de  $D^\infty$  como internas e externa tão bem quanto as orientações em ambas componentes da borda; continue considerando essas orientações como sentido anti-horário e horário. A notação  $\Delta^{\mathbb{Z}}$  sugere que esta faixa seja vista como a justaposição bilateral infinita de track segments iguais

$$D^\infty = \Delta^{\mathbb{Z}} = \dots \Delta_{-2} \Delta_{-1} \Delta_0 \Delta_1 \Delta_2 \dots$$

O corte relacionado ao buraco primário, que no nosso caso é o buraco 1, será denotado por  $\xi'$  e chamado de corte primário. Já os cortes relacionados aos buracos secundários serão denotados por  $\xi^i$ ,  $1 < i \leq N$  e chamados de cortes secundários. E para ambos os casos será o corte denotado por  $\xi$ . O corte induzido entre  $\Delta_i$  e  $\Delta_{i+1}$  é denotado por  $\xi'_{i+\frac{1}{2}}$ . Note que  $\tau$  leva  $\Delta_i$  para  $\Delta_{i+1}$  e  $\xi'_{i+\frac{1}{2}}$  para  $\xi'_{i+\frac{3}{2}}$ .

Considere que um dominó cruza um corte  $\xi$  no sentido anti-horário (resp.

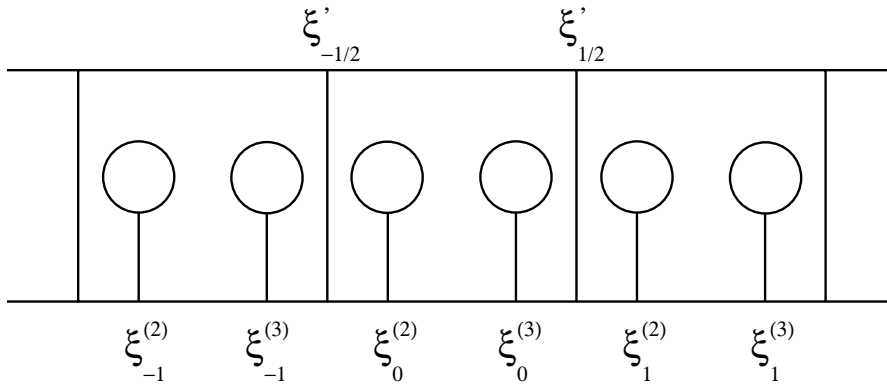


Figure 2.2: Cortes induzido entre  $\Delta_i$  e  $\Delta_{i+1}$

horário) se a seta dominó sai da colagem  $\alpha_0$  (resp.  $\alpha_1$ ) e entra no  $\alpha_1$  (resp.  $\alpha_0$ ).

**Definição 2.1** *Seja  $D$  um disco quadriculado com buracos,  $\xi$  um corte induzido e  $t \in T_{D^\infty}$  uma cobertura de  $D^\infty$ . Considere as setas dominós dentro de cada dominó em  $t$ , orientada do quadrado preto para o branco. O fluxo  $\phi(t, \xi)$  de  $t$  relativo a  $\xi$  é o número de setas cruzando  $\xi$  em sentido anti-horário menos o número de setas cruzando  $\xi$  em sentido horário.*

**Lema 1** *Seja  $\Delta$  um track segment periódico com buracos,  $D = cl \Delta$ ,  $t \in T_{D^\infty}$  e considere  $D^\infty$  com cortes induzidos  $\xi_{n+\frac{1}{2}}$ . O valor de  $\phi(t; \xi_{n+\frac{1}{2}})$  é o mesmo para todo  $n \in \mathbb{Z}$ .*

**Demonstração:** Os números de quadrados pretos e brancos em  $\Delta_0$  são iguais. E, os números de quadrados pretos e brancos na união  $X$  de todos os dominós em  $t$  com pelo menos um quadrado em  $\Delta_0$  são também iguais. Mas  $x = \phi(t; \xi_{\frac{1}{2}}) - \phi(t; \xi_{-\frac{1}{2}})$  é o número de quadrados brancos em  $X - \Delta_0$  menos o número de quadrados pretos em  $X - \Delta_0$  e portanto  $x = 0$ .  $\square$

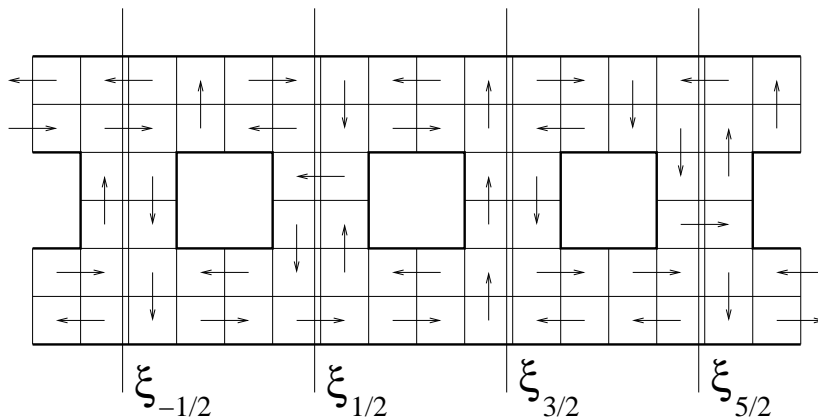


Figure 2.3: Fluxos

Existe um conceito natural de *translação de uma cobertura*  $t_{D^\infty}$  de  $D^\infty$  :  $\tau(t_{D^\infty})$  é formado pelas imagens segundo  $\tau$  dos dominós de  $t_{D^\infty}$ . Uma cobertura  $t_{D^\infty}$  é *periódica* se  $\tau(t_{D^\infty}) = t_{D^\infty}$ . Uma cobertura  $t_D$  de  $D$  induz uma cobertura  $\pi^{-1}(t_D)$  de  $D^\infty$ : claramente, uma cobertura de  $D^\infty$  é induzida por uma cobertura de  $D$  se e somente se ela é periódica.

Um caminho é um *zig-zag* se ele gira à esquerda e à direita alternadamente. Certos discos quadriculados com buracos  $D$  admitem um zig-zag  $\zeta$  simples fechado: tendo em mente que  $D$  está mergulhado no plano,  $\zeta$  divide o plano em uma região interna e uma região externa e divide, por sua vez,  $D$  como a união disjunta de componentes conexas. Usualmente estas componentes consistem de dois discos com buracos. Se, contudo, o zig-zag toca a borda de  $D$ , o número de componentes deve aumentar mas elas sempre serão discos com buracos; o zig-zag também pode coincidir com uma das duas componentes da borda de  $D$ . Seja  $D$  um disco com  $N > 1$  buracos, um deles primário. Uma *parede* é um zig-zag fechado que dá uma volta ao redor do buraco primário tal que o número de quadrados brancos é igual ao número de quadrados pretos do lado de dentro (resp. fora) do zig-zag fechado.

**Proposição 2.2** *Seja  $D$  um disco quadriculado com buracos com uma parede  $\zeta$ . Nenhum dominó em nenhuma cobertura de  $D$  trespassa  $\zeta$ , isto é, nenhuma cobertura atravessa uma parede.*

**Demonstração:** Seja  $X$  o conjunto de quadrados de  $D$  na componente de fora de  $\mathbb{R}^2 - \zeta$  e  $Y \supseteq X$  é a união de todos os dominós com pelo menos um quadrado em  $X$ . Ambos  $X$  e  $Y$  são balanceados, mas todos os quadrados em  $Y - X$  são de mesma cor. Portanto  $Y - X$  é vazio.  $\square$

Um disco com buracos  $D$  sem paredes é dito *livre de paredes*.

Uma *escada* em uma cobertura é uma sequência de dominós paralelos lado a lado, tal que dois dominós vizinhos sempre tocam-se ao longo de uma aresta do lado maior, cada dominó na escada tem duas vizinhanças e estas duas vizinhanças tocam o dominó em quadrados diferentes. Então, escadas são periódicas ou bi-infinita (em uma faixa). Escadas periódicas em uma cobertura estão sempre contidas entre duas paredes.

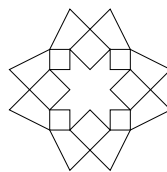


Figure 2.4: Escada

Um disco com buracos  $D$  pode ser decomposto como uma união de escadas e discos com buracos, tal que qualquer cobertura de  $D$  restringe-se a uma cobertura de cada escada e disco com buracos.

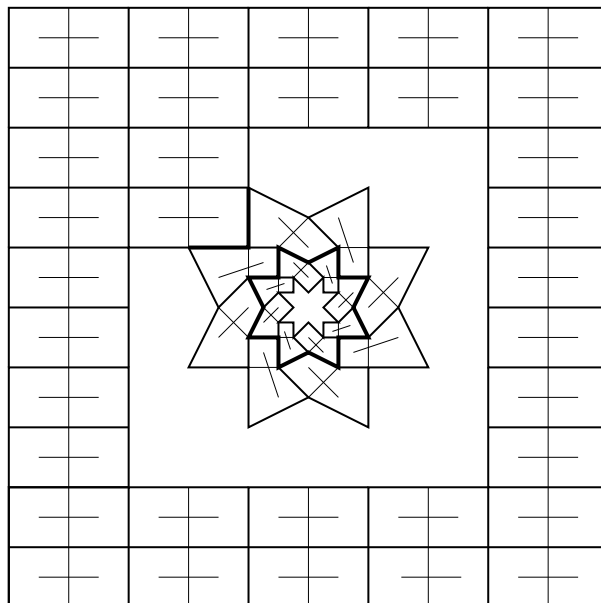


Figure 2.5:  $D$  como união de escadas e discos com buracos

**Corolário 2.3** *Seja  $D$  um disco quadriculado com buracos admitindo  $n + 1$  paredes primárias paralelas,  $n \geq 0$ . Então*

$$\Phi_D(p_1, \dots, p_N, q) = P_{D_0} \cdot P_{D_1}$$

onde

$$\begin{aligned} P_{D_0}(p_1, \dots, p_N, q) &= \Phi_{D_0}(p_1, p_2, \dots, p_M, q) \\ P_{D_1}(p_1, \dots, p_N, q) &= \Phi_{D_1}(p_1 q^\diamond, p_{M+1}, \dots, p_N, q) \end{aligned}$$

e  $\diamond$  é um inteiro cujo valor exato aqui não é importante.

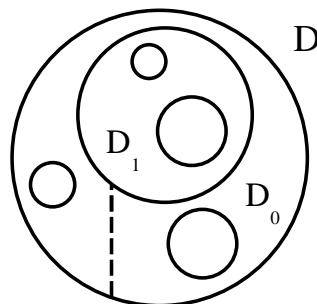


Figure 2.6: Discos com buracos  $D_0$  e  $D_1$

Isto reduz o problema ao estudo de discos com buracos sem paredes. A partir daqui, considere discos com buracos livre de paredes mas esta hipótese só será crucial no último capítulo.

A curvatura total de um caminho fechado é a soma das curvaturas em seus vértices. Vértices internos de um zig-zag alterna entre as curvaturas 1 e  $-1$  e zig-zags fechados tem curvatura total 0.

Seja  $v \in \partial S$  um vértice da borda de uma superfície quadriculada orientada  $S$ : a *curvatura da borda* em  $v$  é  $2 - n_v$  se existem  $n_v$  quadrados adjacentes a  $v$ . A *curvatura total da borda* de uma superfície quadriculada compacta é a soma das curvaturas de cada vértice da borda. A próxima proposição é a versão quadriculada do Teorema Gauss-Bonnet, note que o usual  $2\pi$  é substituído por 4.

**Proposição 2.4** *A curvatura total da borda de uma superfície quadriculada compacta orientada  $S$  é  $4\chi(S)$ .*

A característica de Euler de  $S$  é  $\chi(S) = F - E + V$ , o número de faces (quadrados) menos o número de arestas (lados dos quadrados) mais o número de vértices (internos e da borda).

**Demonstração:** Seja  $V_i$  o número de vértices internos. Contando vértices face por face e aresta por aresta temos

$$V = V_i + \sum_{v \in \partial S} 1; \quad 4F = 4V_i + \sum_{v \in \partial S} n_v; \quad 2E = 4V_i + \sum_{v \in \partial S} (n_v + 1)$$

Essas três identidades implicam

$$4(F - E + V) = \sum_{v \in \partial S} (2 - n_v)$$

o resultado esperado.  $\square$